

技術資料

窒素添加에 의한 熔湯의 材質 向上法

金 錫 元*

1. 序 論

요즈음 鑄物工場에서는 큐포라보다 低周波 誘導爐를 사용하여 용해하는 傾向이 增加하고 있다.

이것은 용해로에 따라 鑄鐵의 性質이 서로 다르기 때문이라고 생각하여 왔다.

一般的으로 低周波 熔湯은 큐포라 熔湯에 비해 機械的 性質이 우수한 반면 chill化 傾向이 強하고 收縮現象이 쉽게 發生한다고 보고하여 왔다. 이와같이 이들 熔湯의 特性이 서로 다른 原因으로서는 N說, O說, 不純物 原素說 等 많은 假說이 제안되었다. 그後 低周波 熔湯의 特性에 미치는 lining材의 影響, 加炭劑의 影響 等에 관한 研究를 通하여 N이 鑄鐵 熔湯의 性質, 特히 機械的 性質에 크게 影響을 미치고 있다는 사실을 發表하였다.

따라서 本 資料에서는 鑄鐵의 材質을 制御하는 方法으로 現在까지 알려져 있는 N처리에 의한 材質의 改善方法을 소개하고자 한다. 即 N添加에 의한 材質強化法과 脫N처리에 의한 材質軟化法에 관하여 說明하고자 한다.

2. N이 鑄鐵熔湯의 性質에 미치는 影響

2.1 低周波 熔湯과 큐포라 熔湯의 차이점

低周波爐에서 용해된 鑄鐵 熔湯의 性質에 관한 研究는 주로 과거에 많이 사용되어왔던 큐포라 熔湯과 의 比較로 부터 시작되었다. 低周波 熔湯의 特性은 큐포 熔湯에 比하여 強하고 硬하며 chill化 되기 쉽고 收縮現象도 크다고 한다.

岡田에 依하면 低周波 熔湯은 機械的 性質이 우수하고 chill化 傾向이 잘 나타나는 것은 熔解時 강제 배합율과 관련이 있으며 강제 배합율이 많은 편이 이러한 傾向이 현저하다고 報告하고 있다.

* 全北大學校 工科大學 金屬工學科教授

이러한 原因은 低周波 誘導爐에서 강제 배합율이

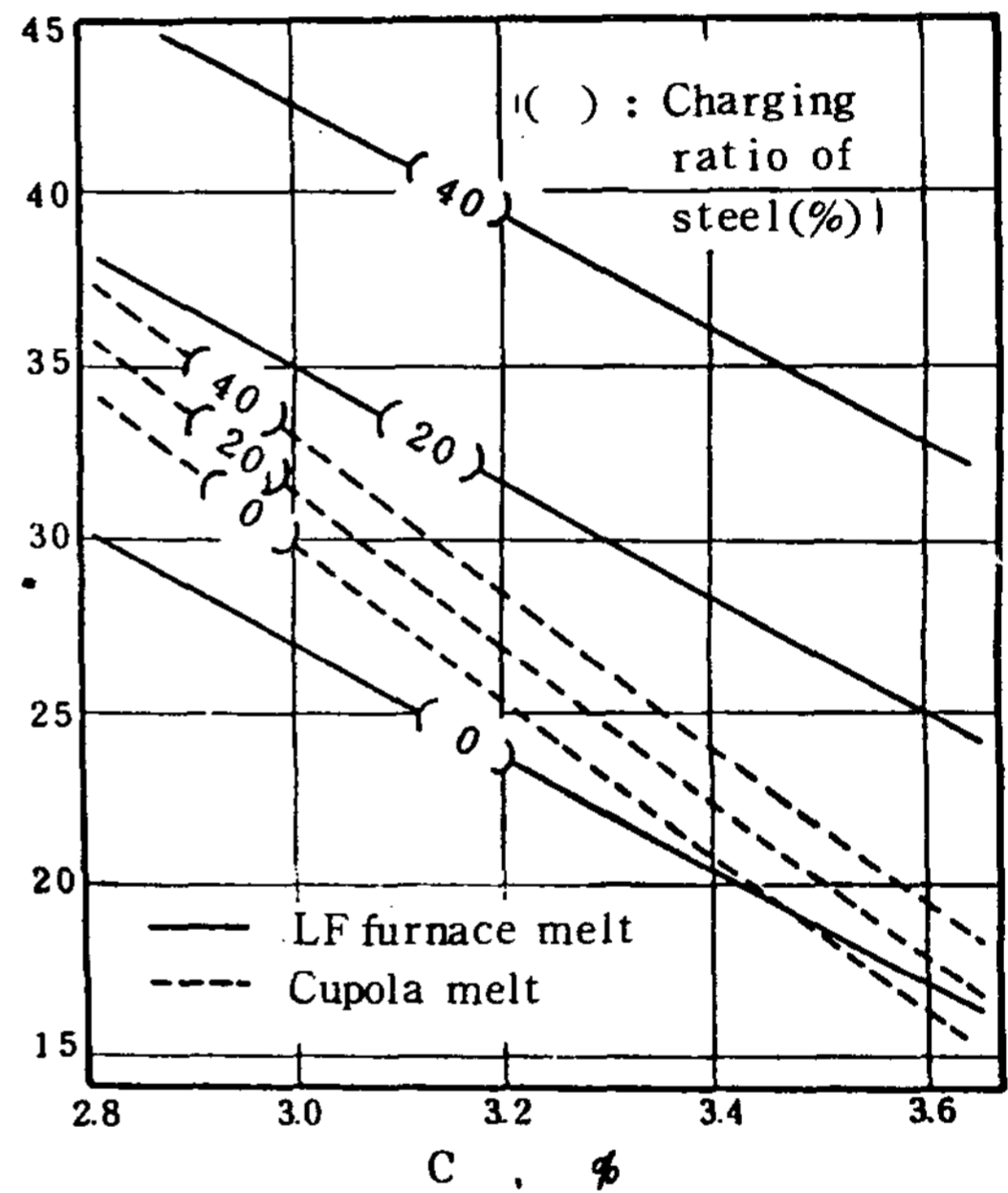


Fig. 1 Comparison low frequency furnace melt with cupola melt on TS. (2.14% Si)

增加하면 鑄鐵 熔湯 中の N量이 많아지므로 機械的 性質의 變化를 초래하게 된다.

그러나 誘導爐 용해에서 강제 배합율의 增加에 의한 鑄鐵 熔湯 中の N量이 增加되는데 起因한다는 理論에 관해서는 다른 見解도 있다.

禁田이 酸性 lining 高周波 誘導爐에서 강제 배합율의 變化에 따른 熔湯中 N의 變化를 測定한 結果는 Fig 4 와 같다.

여기서 熔湯中 N은 配合 地金中の N量에 依存하며 강제 배합율이 많은 편이 N量은 減少하고 있다. 또한 低周波 熔湯이 큐포라 熔湯의 경우보다 N量이 더

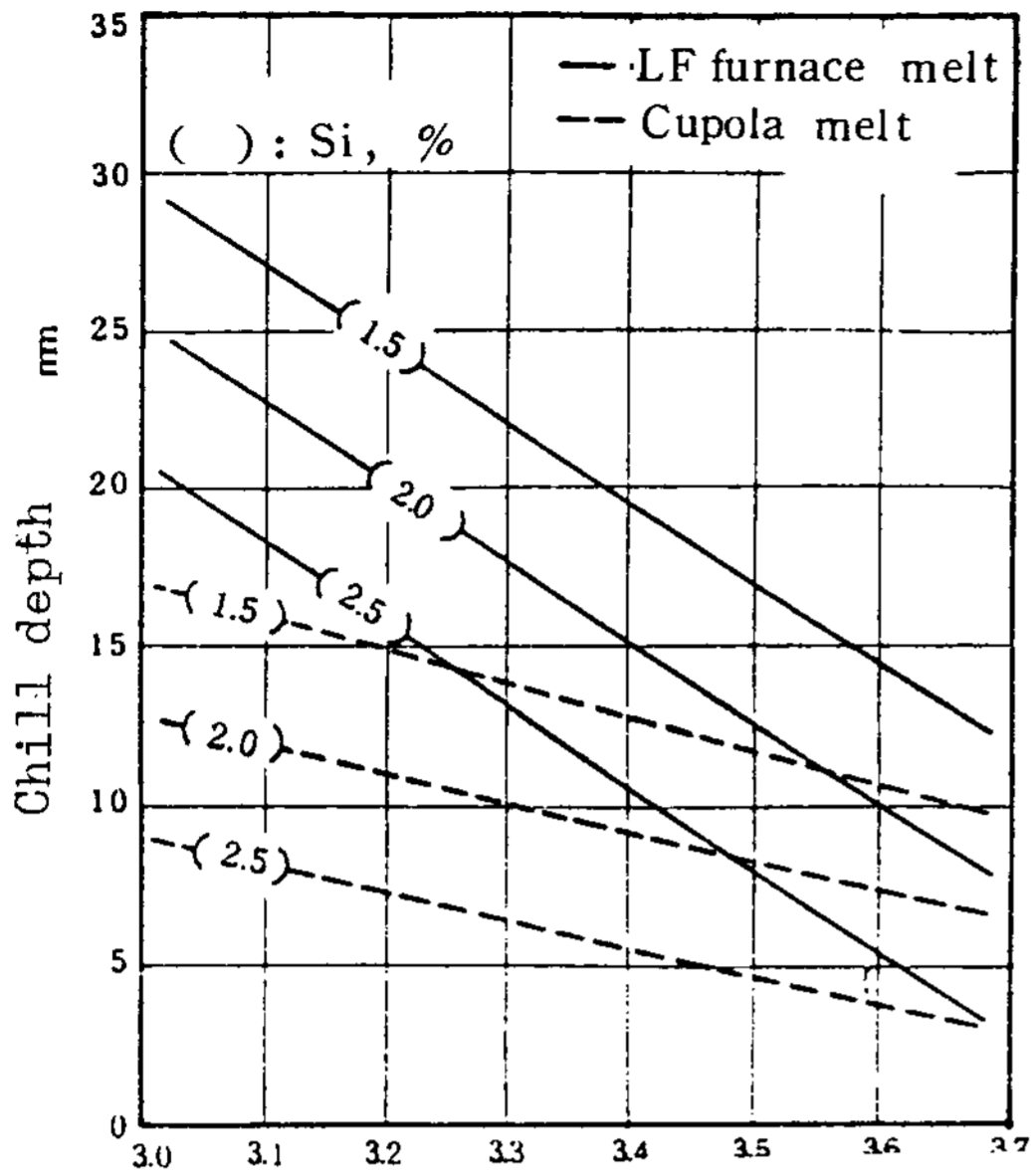


Fig. 2 Comparison of low frequency melt with cupola melt on chill depth.

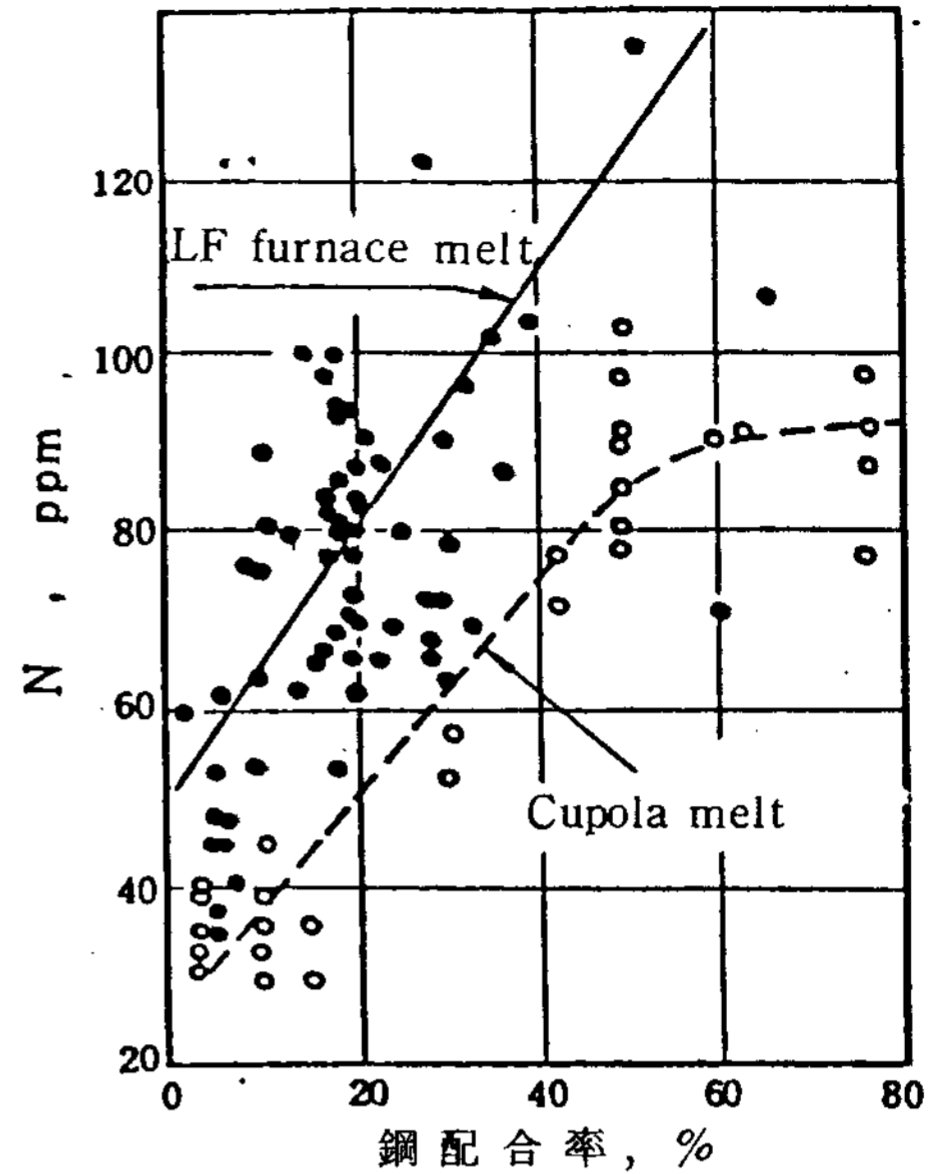


Fig. 3 Effect of steel scrap charging ratio on N content in melt

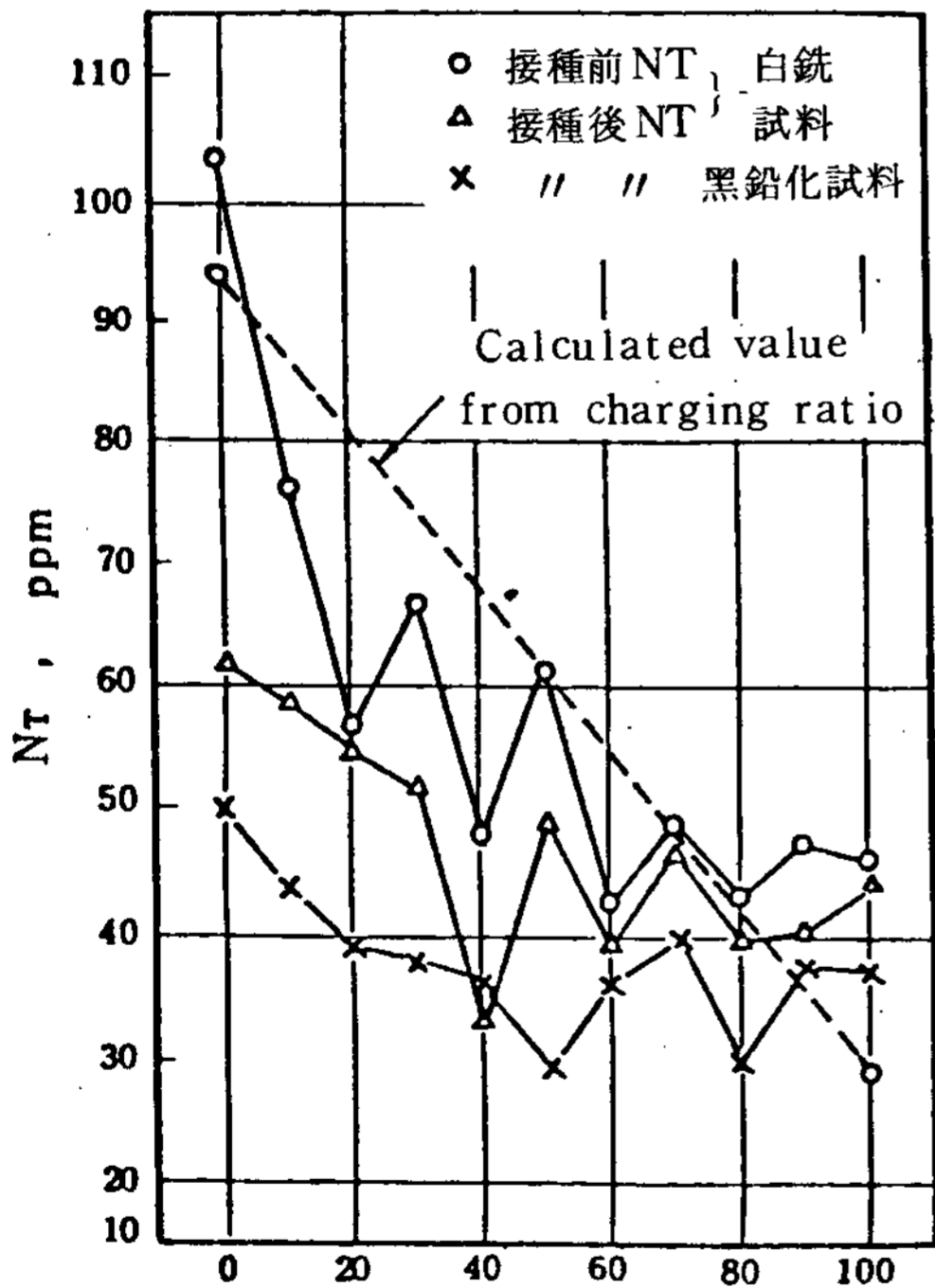


Fig. 4 Relationship between N and charging ratio of steel scrap.

른 因子의 作用에 起因한다고 생각할 수 있다. 이러한 觀點에 착안하여 中江은 용해시 添加되는 加炭劑 中の N의 作用에 對하여 다음과 같은 檢討를 하였다.

2.2 鑄鐵材質에 미치는 加炭劑의 影響

各種 加炭劑 中の N量(%)에 관한 문헌 및 中江의 分析結果는 表1과 같다.

Table 1 N content of various carbon raiser

	N 量 %	備 考
Pitch cokes	0.63	岡田, 中江, 祖父江 } 横井: 鑄物, 45 (1973) 10, 34
電極黑鉛		
SiC	0.15 ~ 0.5	
Gilsonite	2.4	M.H. Davison : Modern Castings, (1963) 10, 528
Cokes	0.8	
木 炭	0.6	
電極黑鉛	< 0.1	

上記의 加炭劑 中에서 一般적으로 많이 利用되고 있는 전극흑연과 pitch cokes 를 선정하여 N量(%)의 變化가 鑄鐵材質에 미치는 영향을 조사한 結果를 Fig5 및 Fig 6에 나타내었다.

上記의 두가지 加炭劑를 各各 使用하여 용해한 용탕중 含有元素의 差異는 C, Si 이외에 N量이 20~40ppm, S가 0.01~0.02% 이었고, O, Cr, Ti,

속 적어지므로 成熟度도 低周波 熔湯이 減少하고 있다.

上記의 상반된 結果를 보면 低周波 熔湯이 큐포라 熔湯과 相異한 特性을 갖는 要因은 강제 배합을 외에 다

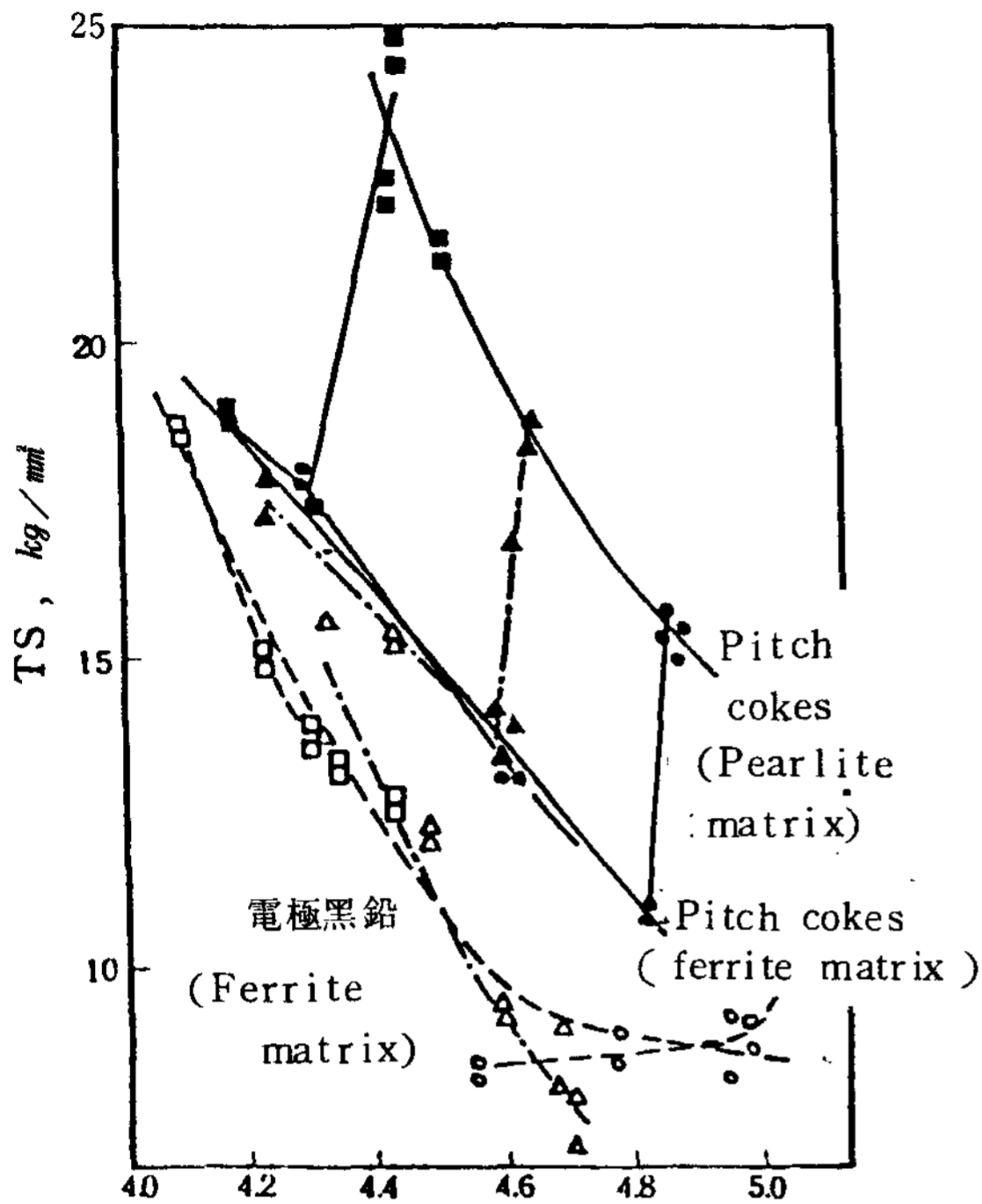


Fig. 5 Effect of carbon raiser on tensile strength.

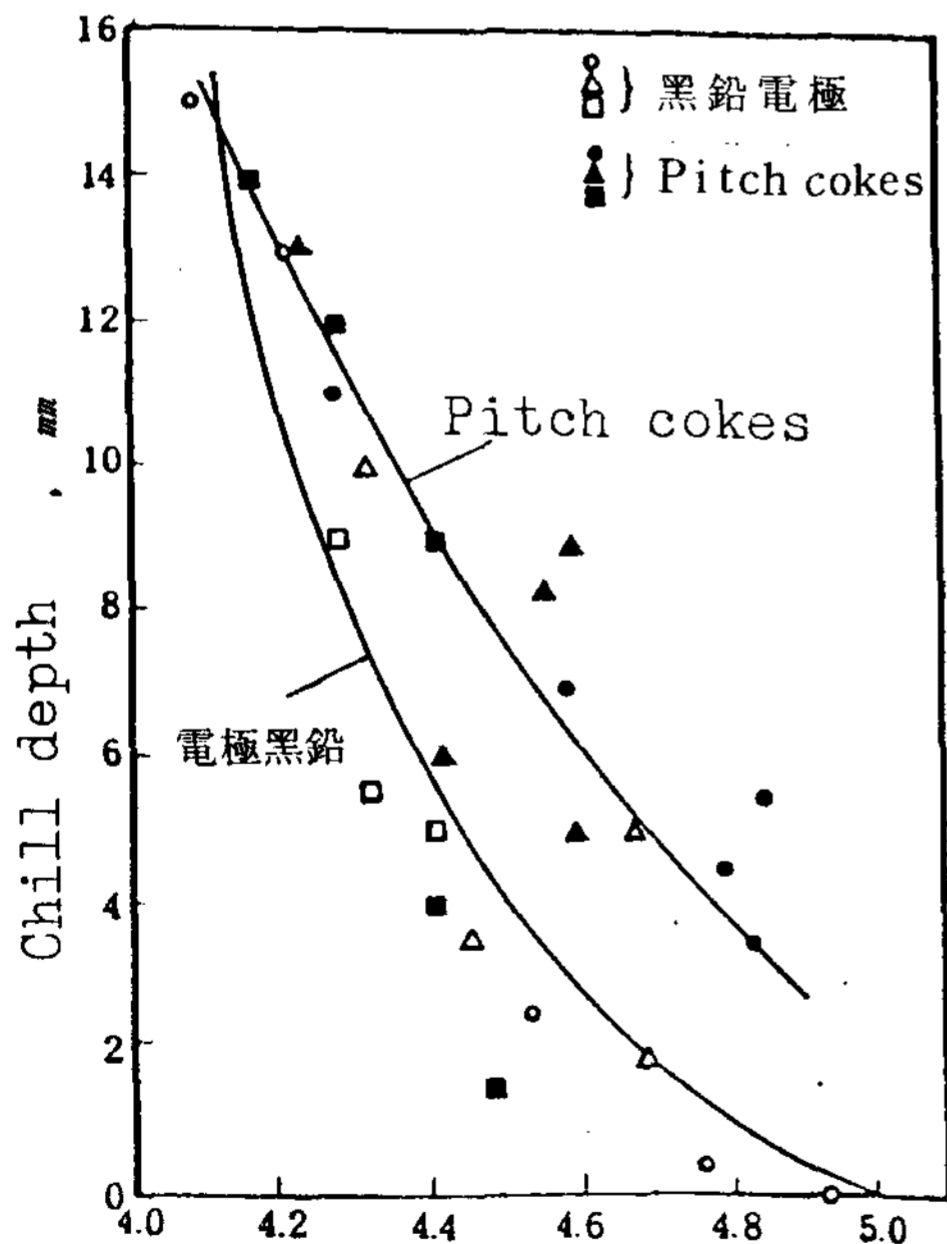


Fig. 6 Effect of carbon raiser on chill depth (mm)

등의 불순물 원소량은 두 용탕에서 거의 동일하였다.

따라서鑄鐵熔湯의性質(引張強度, chill 길이)에 差異가 생기게 되는 주요原因은 加炭劑 中の N이

라고 생각된다.

따라서鑄鐵의機械的性質(引張強度, 硬度)에 對한 底周波誘導爐 熔湯의 特性은 主로 實驗에 使用한 加炭劑 中の N의 영향이라고 보는 것이 타당하다.

以上の 사실로부터 종래에 주철의 기계적 性質을 제어하는 수단으로서 C量, Si量에 의한 方法 이외에 N量에 의한 材質의 向上을 생각할 수 있다. 따라서 N에 의한 材質의 改善 方法에 關하여 다음과 같이 檢討하기로 한다.

3. 鑄鐵熔湯의 N處理

鑄鐵의 機械的 性質을 N으로서 제어하는 方法은 N添加와 脫N處理의 두가지 方法이 있다. 表2에 N添加劑와 脫N劑의 종류 및 性質을 나타내었다. N添加劑는 CN가스가 發生되지 않도록 添加劑의 條件을 선정하고, 脫N劑로서는 N과의 親化力이 강한 元素인 Ti, Zr을 함유한 合金을 利用한다.

Table 2 Kinds and property of nitrifying agent.

N 處理 劑		諸 性 質
N 添加劑	Fe-Mn-N	70 Mn-4.4 N
	Fe-Cr-N	58 Cr-6.4 N
	Si ₃ N ₄	44 N 昇華點 1,900 ℃
	Hexamine	40 N 昇華點 263 ℃
脫 N 劑	Si-Zr	47 Si-36 Zr
	Si-Mn-Zr	53 Si-5.9 Mn-5.9 Zr
	Fe-Ti	25 Ti

3.1 N 添加處理

먼저 適當한 N 添加劑와 그 添加方法을 明確하게 할 目的으로 다음과 같은 實驗을 하였다. 實驗의 대상은 GC20 상당의 溶湯에 表2의 各種 N 添加劑를 爐中 및 爐前에 添加하였다. 實驗結果로 부터 N量과 ΔTS와의 關係를 Fig 7에 나타내었고 ΔTS는 다음 式으로 부터 求하였다.

$$\Delta TS = TS - (102 - 82.5Sc)$$

即 ΔTS는 引張強度의 실측치 (TS)와 化學成分으로부터 求한 계산치 (102-82.5Sc)의 差異이다. 이 結果에 의하면 鑄鐵의 機械的 性質(引張強度)은 N添加劑의 종류에 따라 그다지 差異가 없으나 鑄鐵中の N量에 크게 依存하고 있다. 即 N量이 10 ppm 增加 하므로써 引張강도는 약 0.7 kg/mm² 增加 하였다.

本 實驗에 使用한 N 添加劑中 Hexamin은 昇華點

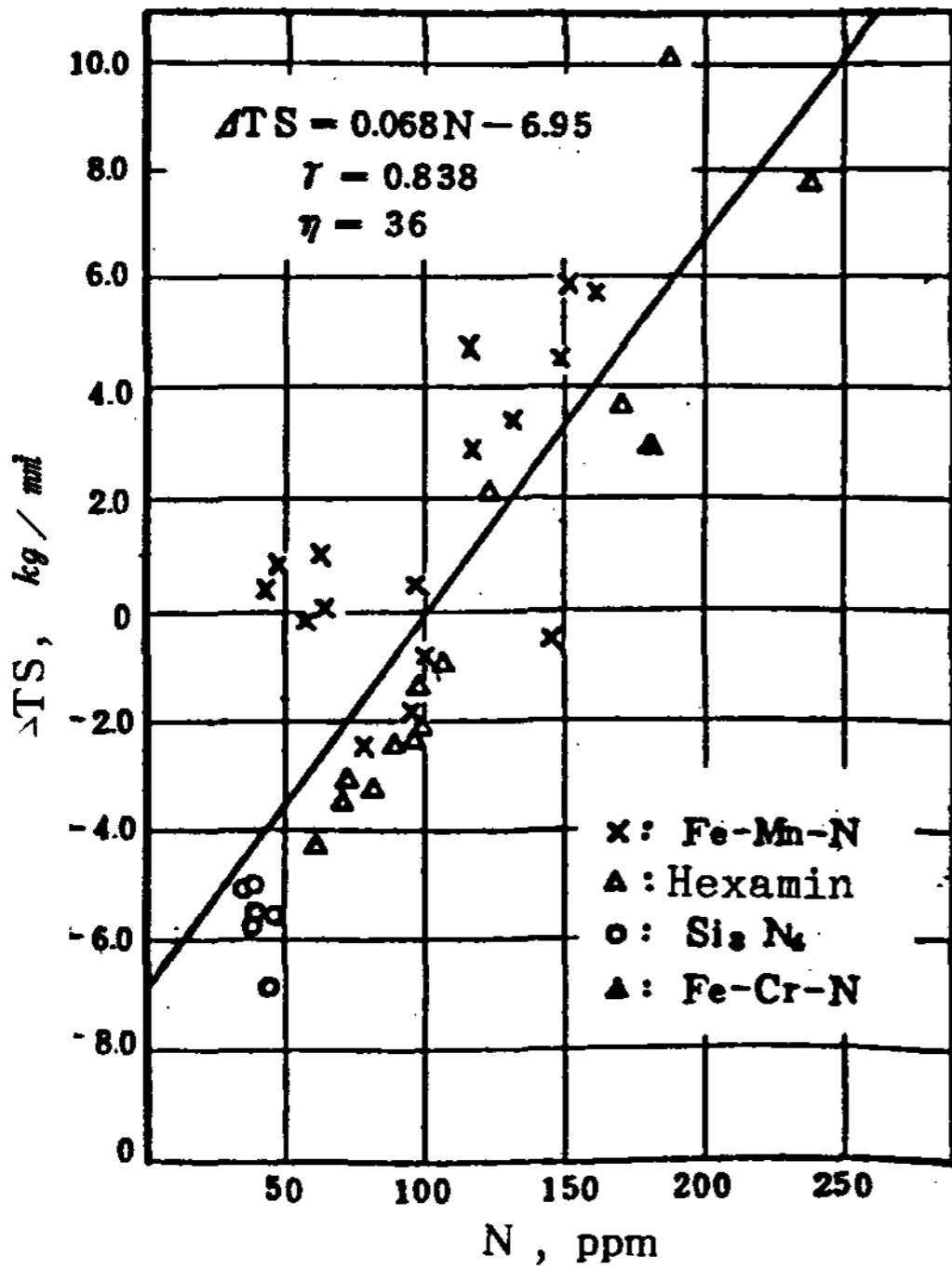


Fig. 7 Relationship between ΔTS and N content in cast iron (GC 20)

이 낮기 때문에 添加時 phospherizer가 必要하고 Fe-Cr-N은 一般的으로 Cr의 混入을 초래하며, Si_3N_4 이 未熔解 狀態로 남아 있을 때 熔湯의 性質에 극히 나쁜 영향을 준다. 따라서 Fe-Mn-N이 가장 좋은 N 添加劑라고 생각된다. 여기서는 N 添加劑로서 Fe-Mn-N을 使用하였을 경우 鑄鐵의 材質에 미치는 N의 영향을 定量的으로 檢討하기 위하여 다음과 같은 實驗을 하였다.

- CE值의 영향: CE 5 수준 (3.8~4.5)
- N量 4 수준 (40~160 ppm)
- 두께 민감성 : 13 ϕ ~ 30 ϕ , 30 ϕ ~ 100 ϕ
- N量 40 ~ 70 ppm

1) CE值의 影響

N添加에 의한 鑄鐵의 強化法을 實用化 하기 위하여 化學成分(CE)의 영향을 조사하였다. Fe-Mn-N의 前添加(0~1.0%)에 의하여 N量を 變化시켰다. N添加時 Mn量이 變化하지 않도록 하기 위하여 Fe-Mn을 添加하고 또한 Chill化 現象을 防止할 目的으로 0.3% Fe-Si로 接種하였다.

實驗結果를 Fig 8과 Fig 9에 나타내었다. 여기서 CE=4.5%의 계열을 除外하고 鑄鐵의 引張強度는 N含量에 比하여 增加하였다. 그러나 일부 계열에서

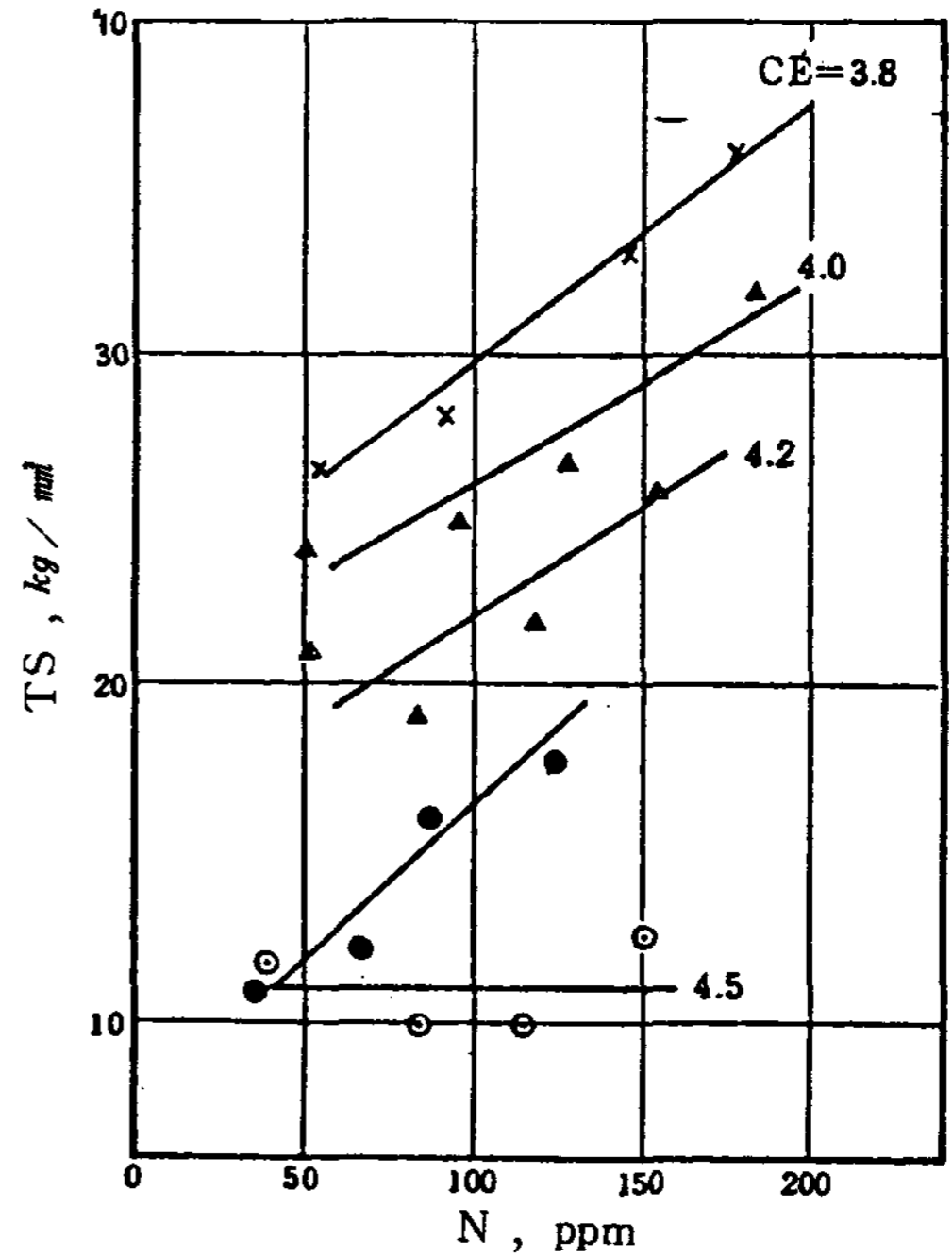


Fig. 8 Relationship between tensile strength (30 ϕ) and N content (ppm)

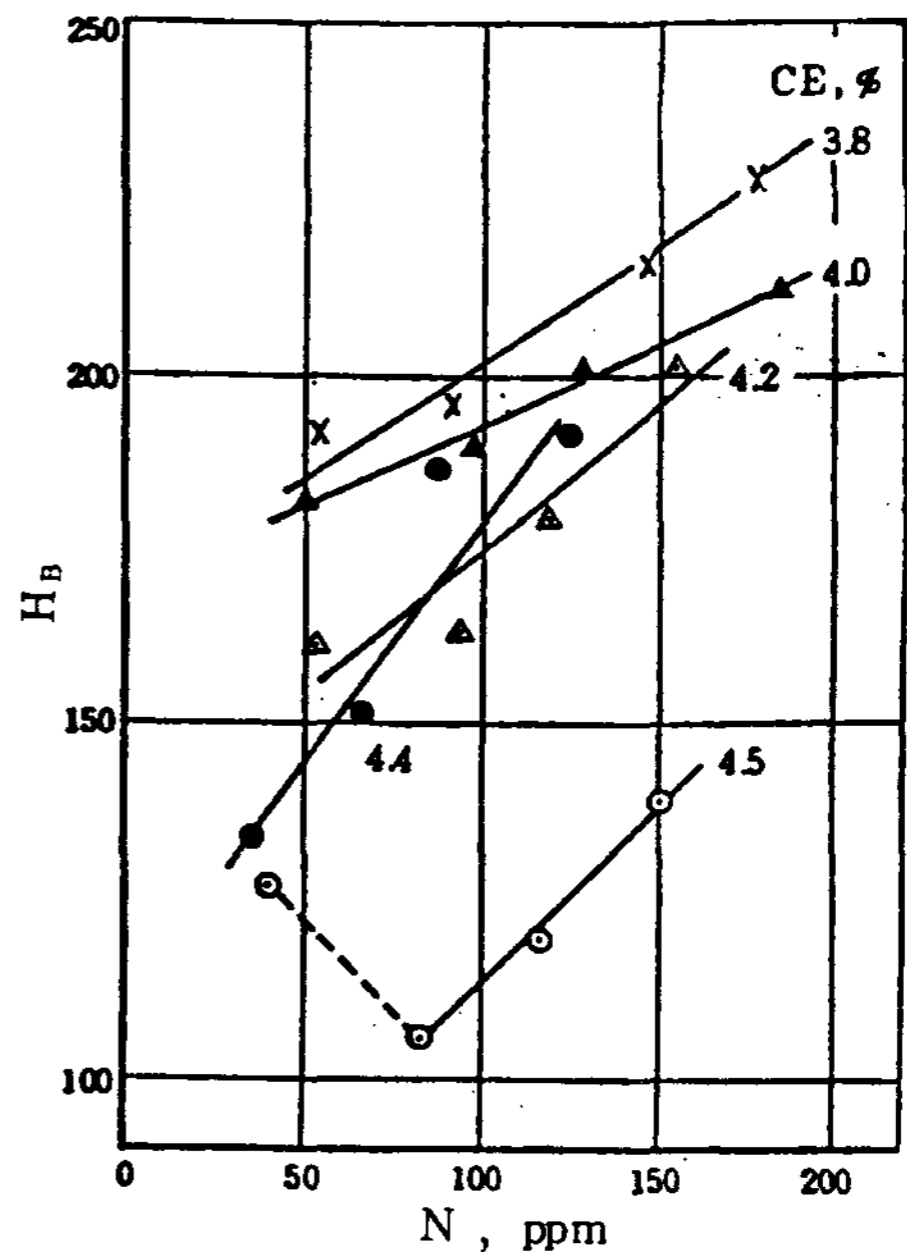


Fig. 9 Relationship between H_B (30 ϕ) and N content (ppm)

는 80ppmN 부근에서 引張強度 및 硬度가 모두 低下하는 傾向을 나타내고 있다.

N添加 鑄鐵의 材質을 檢討할 目的으로 上記의 結果를 成熟度와 비교경도로 나타내면 Fig 10 및 Fig

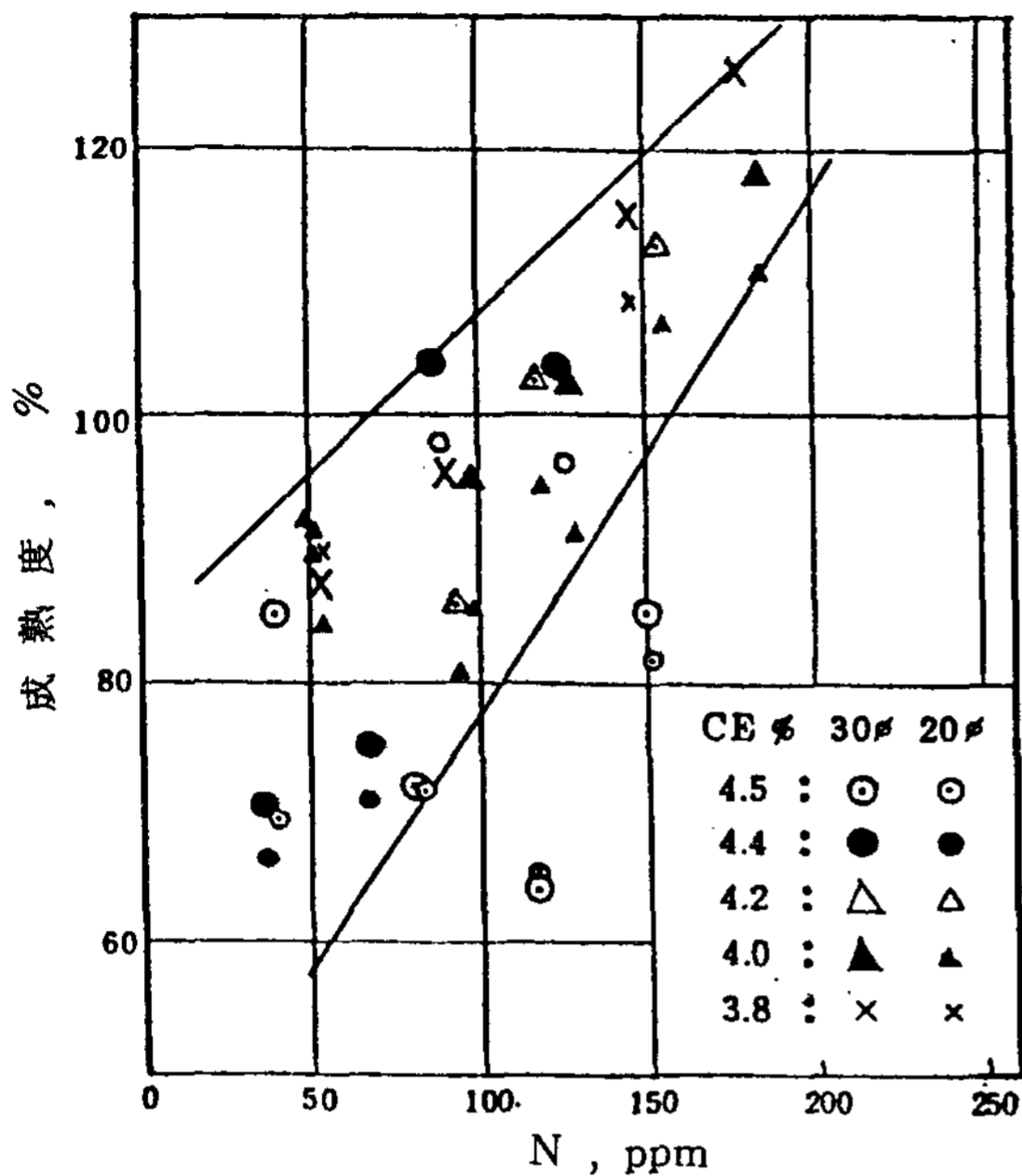


Fig. 10 Relationship between N(ppm) and degree of normality.

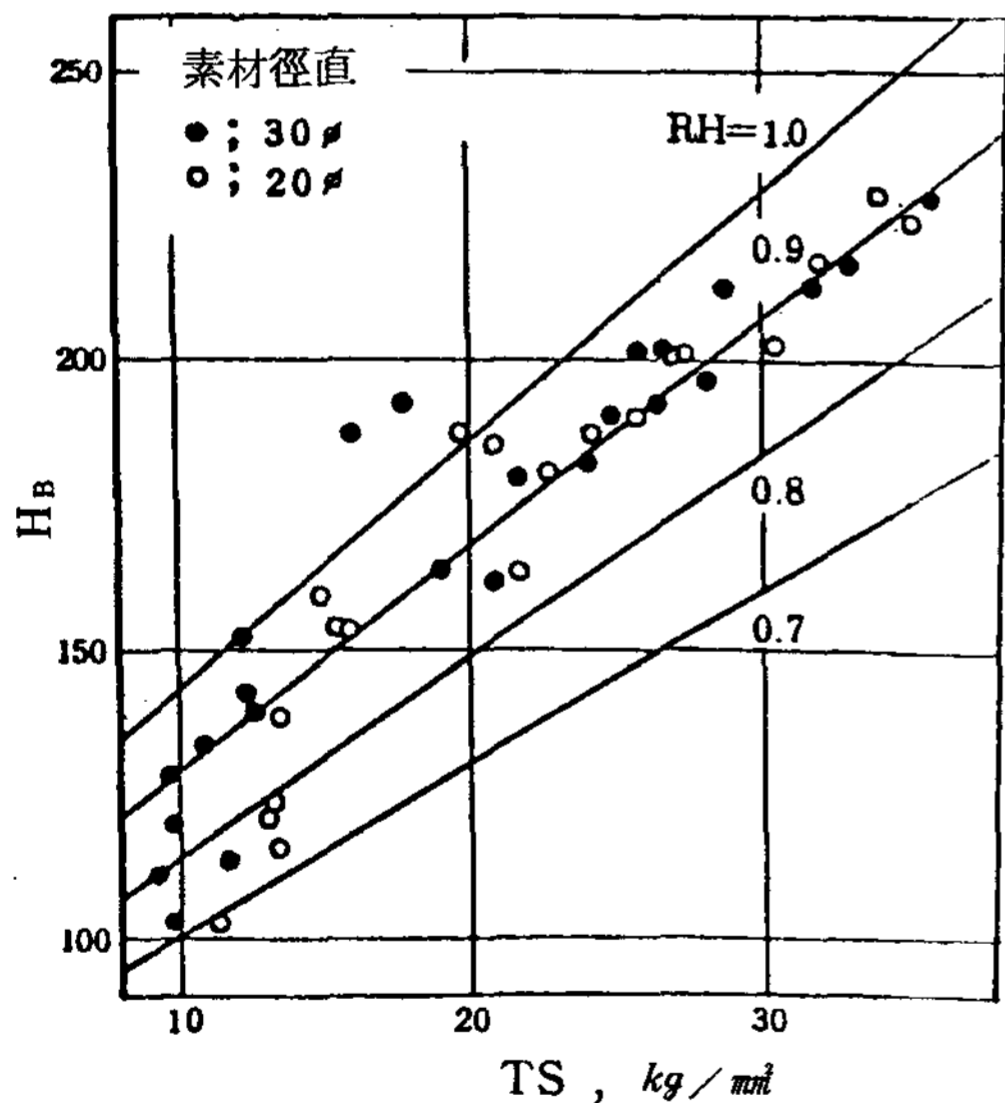


Fig. 11 Relationship between TS and HB.

11과 같다. 본 실험 범위 (CE = 4.5% 除外) 에서 成熟度와 N量과의 관계는 비례하고 있다. 한편 N添加鑄鐵의 비교경도를 약 0.9로 一定하게 하고 비교경도에 미치는 N量的 영향은 확인하지 못하였다.

以上の實驗結果로 부터 10ppm N의 增加에 따라 인장강도는 0.6 kg/mm², 硬度는 3HB 증가하는 것을 확

인하였다. 그러므로 N添加에 의해 인장강도를 5 kg/mm² 이상 증가시키는 것은 가능하다고 생각된다. 또 이들의 결과는 Fig 7 과 일치하고 재현성도 우수하다.

2) N添加 鑄鐵의 두께 민감성

N添加量的 변화에 따른 鑄鐵의 두께 민감성과 鑄造缺陷 (fissure defect) 發生의 한계를 알아보기 위하여 N量을 40~170ppm으로 變化시키고 이것을 30φ~100φ의 鑄型에 鑄込하였다. N量과 引張強度 및 시료 직경과의 관계는 Fig12와 같다. N添

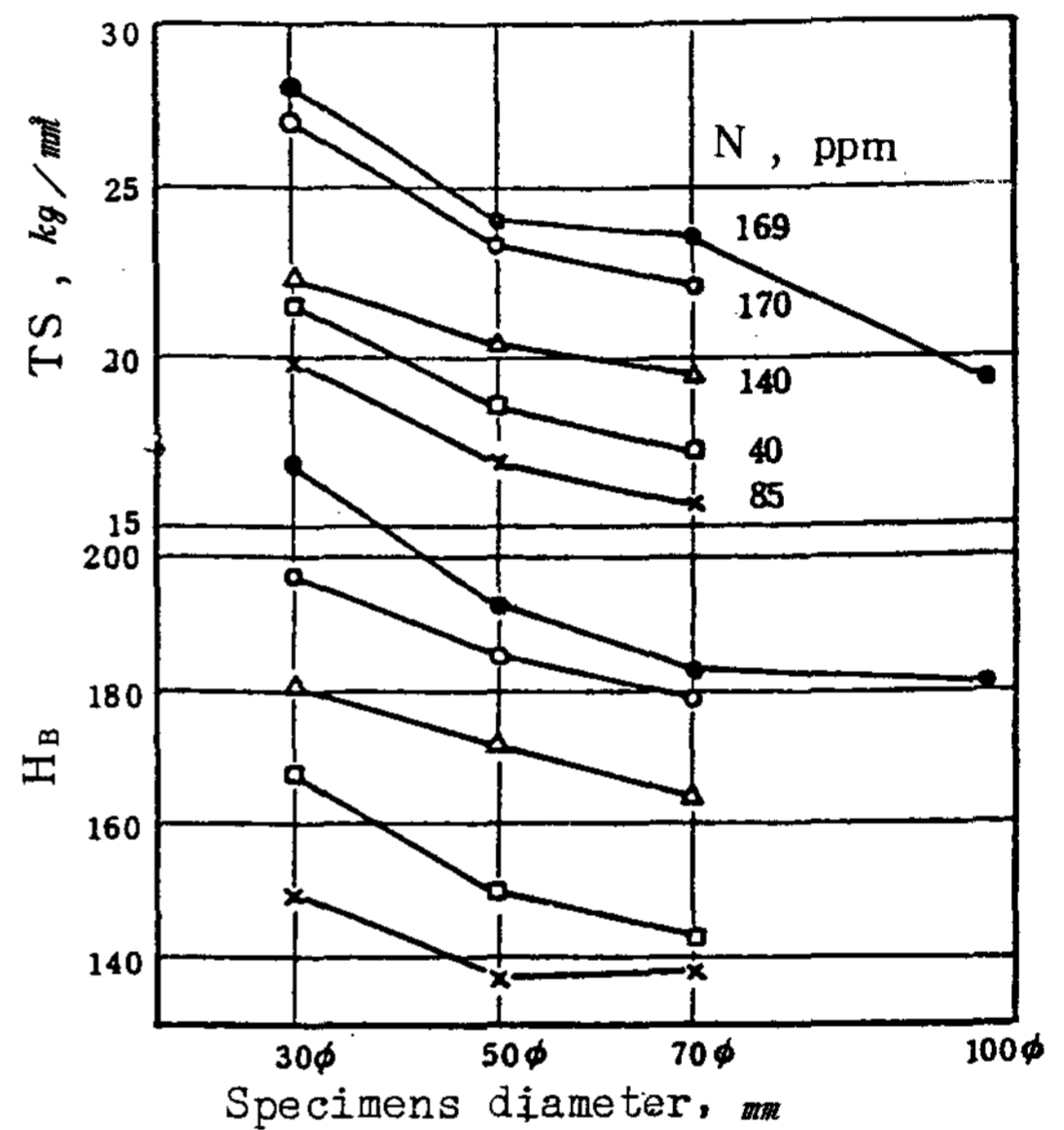


Fig. 12 Thickness sensitivity of N additional melt (3.2/3.3 C, 2.6/2.8 Si, 1.0/1.2 Mn)

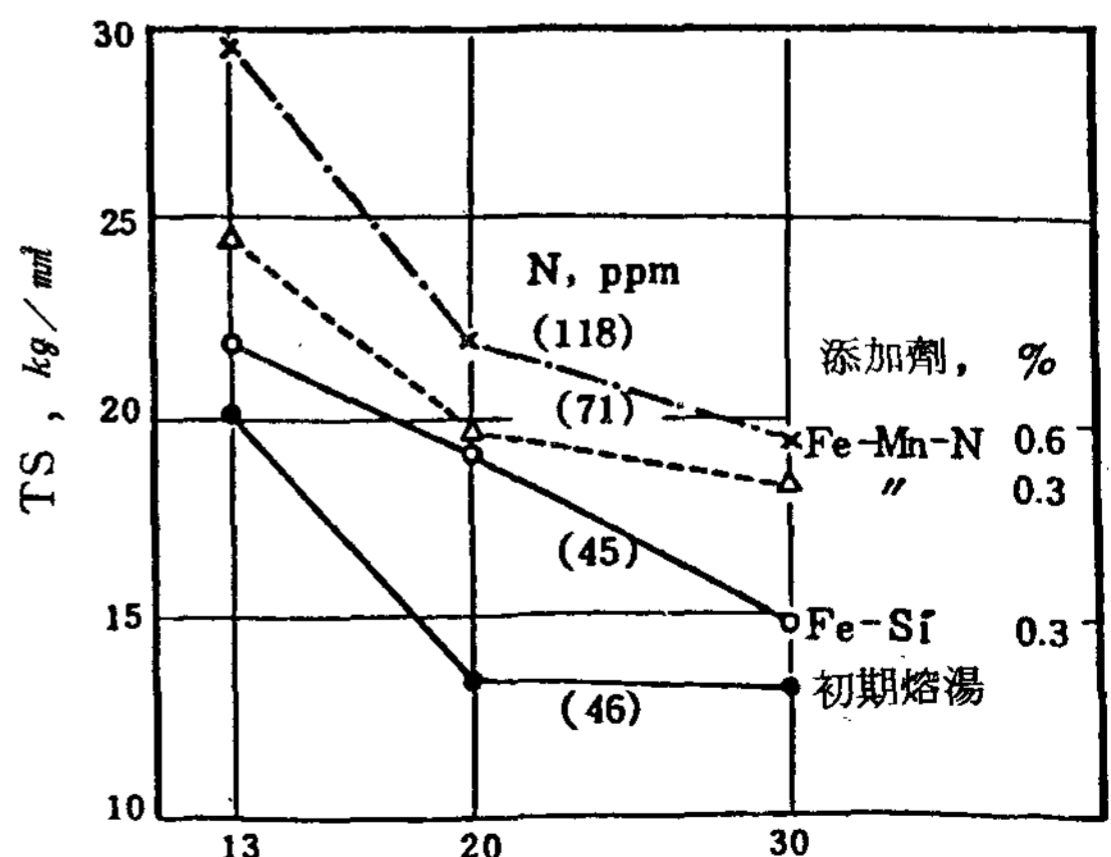


Fig. 13 Effect of N on thickness sensitivity of cast iron. (3.5% C- 2.6% Si- 0.3% Mn)

加에 의하여 引張強度가 增加하지만 시료의 直徑이 커짐에 따라 오히려 減少하는 傾向은 N量에 의한 영향이 아니라고 생각된다. Fig13은 直徑의 크기를 13φ~30φ로 變化시켰을때 두께 민감성을 나타낸다. 그림13에서 알 수 있는 바와 같이 N量의 大小에도 불구하고 鑄鐵의 두께 민감성은 거의 비슷한 傾向을 나타내고 있다. 이러한 結果로 부터 N添加에 의하여 強化된 鑄鐵은 一般鑄鐵과 同等한 두께 민감성과 비교 경도를 나타내며 두꺼운 鑄物을 제외하고는 實用상 主조결함 (fissure defect) 發生의 위험도 없다고 생각된다. 따라서 N添加 鑄鐵은 成熟度를 높게하기 때문에 同一 材質을 얻기 위해서 보통鑄鐵보다 높은 CE值에서도 가능하며 shrinkage, chill의 防止策으로도 유리하다고 할 수 있다.

3.2 脫N處理

지금까지는 N添加에 의한 材質의 強化法을 說明하였지만 強化現像과 반대로 鑄鐵 中の N을 脫가스함으로써 材質을 軟化시키는 것을 생각해 보면 鑄鐵 中の N은 熔湯을 眞空 脫가스 하여도 減少되지 않는다. 여기서는 鑄鐵 中の N을 化合劑로서 固定하는 方法을 檢討하였다. N 固定劑에 관한 脫N劑로서는 表 2에 표시된 Zr과 Ti合金을 사용한다.

Pitch cokes계의 加炭劑를 使用하여 N量이 비교적 높은 熔湯에 爐中 또는 爐前에서 Zr을 添加할

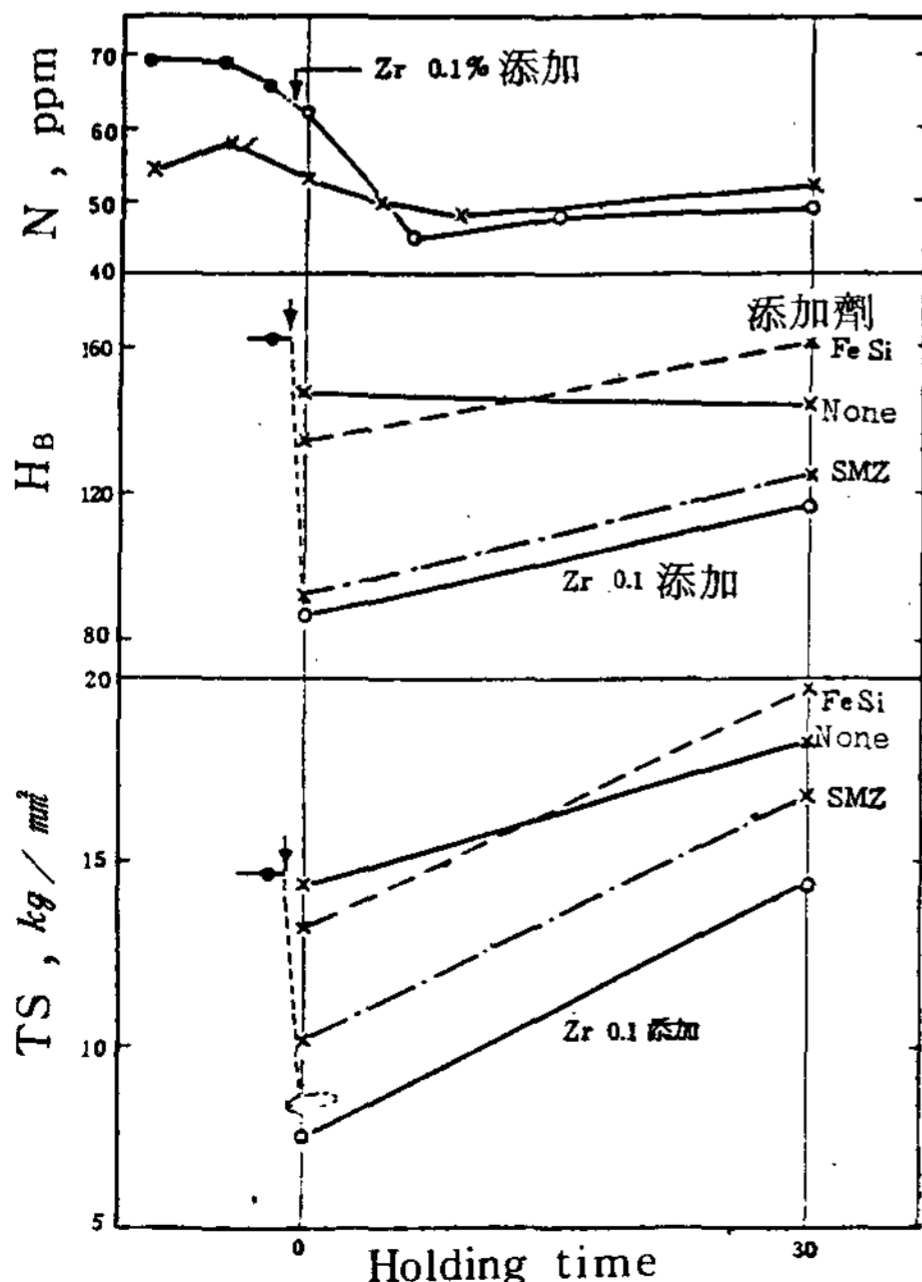


Fig. 14 Effect of denitrifying treatment on cast iron melt. (Addition: Zr, 3.5-3.6% C, 2.8-2.9% Si)

경우와 添加하지 않을 경우의 結果를 그림14에 나타내었다. CE = 4.5% 정도의 過共晶 鑄鐵(60ppm N)에 Zr을 0.1% 添加하였을 경우 引張強度는 15kg/mm²에서 8kg/mm²로 경도는 160Hb에서 90Hb로 감소되었다. 이러한 現像은 0.02% Zr(Si-Mn-Zr 0.3% 接種)의 경우에도 비슷한 傾向을 나타내지만 Zr에 의한 添加 효과가 아니고 N의 固定作用에 의한 것이라고 생각된다. 脫N劑로서 Fe-Ti를 使用하여 1ton 低周波爐로 실험한 結果를 Fig

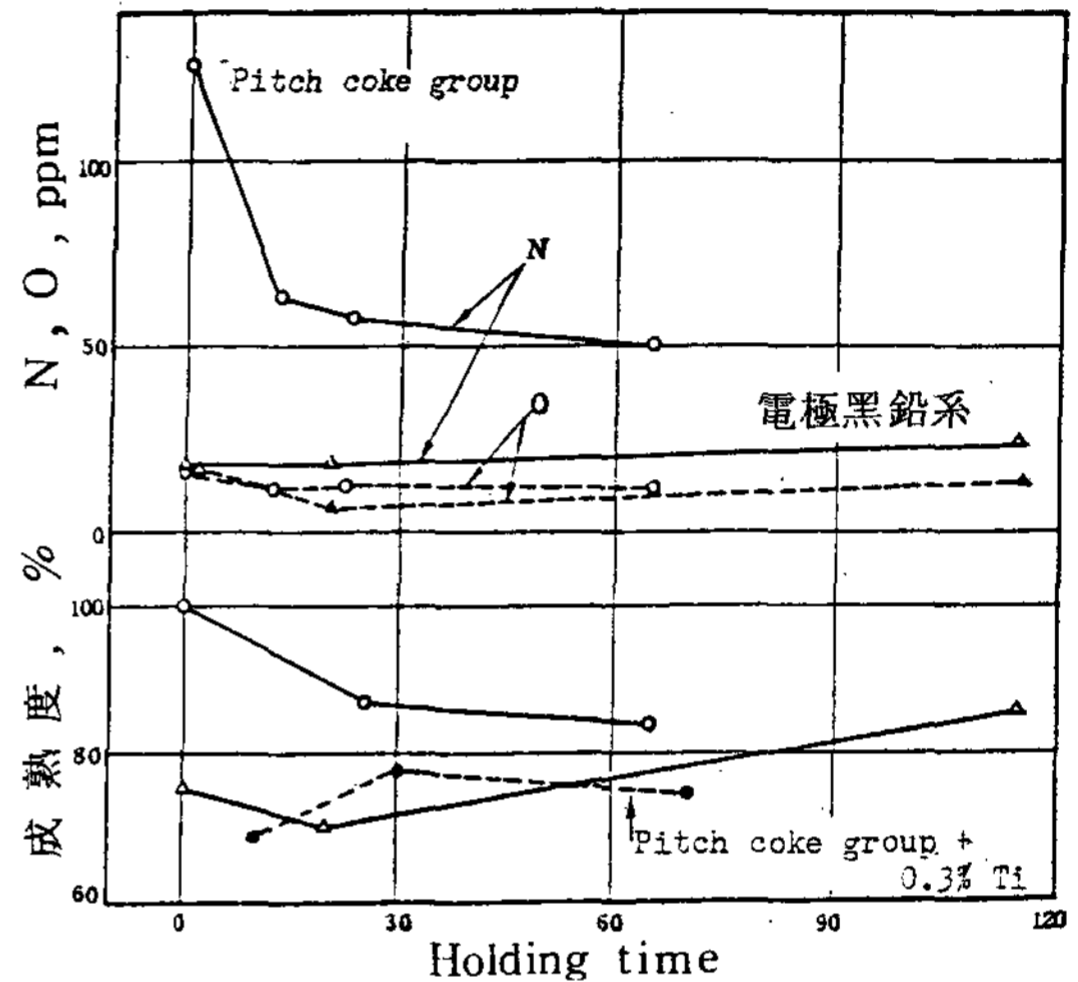


Fig. 15 Effect of Ti addition on degree of normality of cast iron

15에서 나타내었다. 이 實驗에서는 加炭劑로 pitch cokes와 전극흑연을 使用하여 pitch cokes로 加炭된 熔湯에 대해서만 Ti 添加의 효과에 대한 實驗을 실시하였다. 3가지의 熔湯을 比較 檢討한 結果, N量이 많은 pitch cokes로 加炭된 熔湯이 전극흑연으로 加炭된 熔湯보다 成熟度가 높다. 그러나 pitch cokes계의 熔湯에 Ti를 添加함으로써 成熟度는 전극흑연계의 熔湯과 同一한 level로 되므로 Ti에 의한 N의 固定作用으로 볼 수 있다. 以上の 사실로부터 N量이 많은 熔湯에 Zr, Ti를 添加함으로써 材質을 軟化시킬 수 있다고 생각된다.

4. 結 論

鑄鐵의 材質을 제어하는 수단으로써 종래에는 주로 C, Si量을 調定하는 方法을 使用하여 왔으나, 低周波爐에서 熔解한 鑄鐵의 材質은 鑄鐵 中の N이 鑄鐵의 機械的 性質에 크게 영향을 미친다. N에 의한 材質의 變化를 檢討하여 實用化하면 보다 더 좋은 鑄鐵의 材質의 強化 元素로서 比較的 安定된 元素이며, N에 의한 鑄鐵의 強化는 다음과 같은 機構에 의해서

